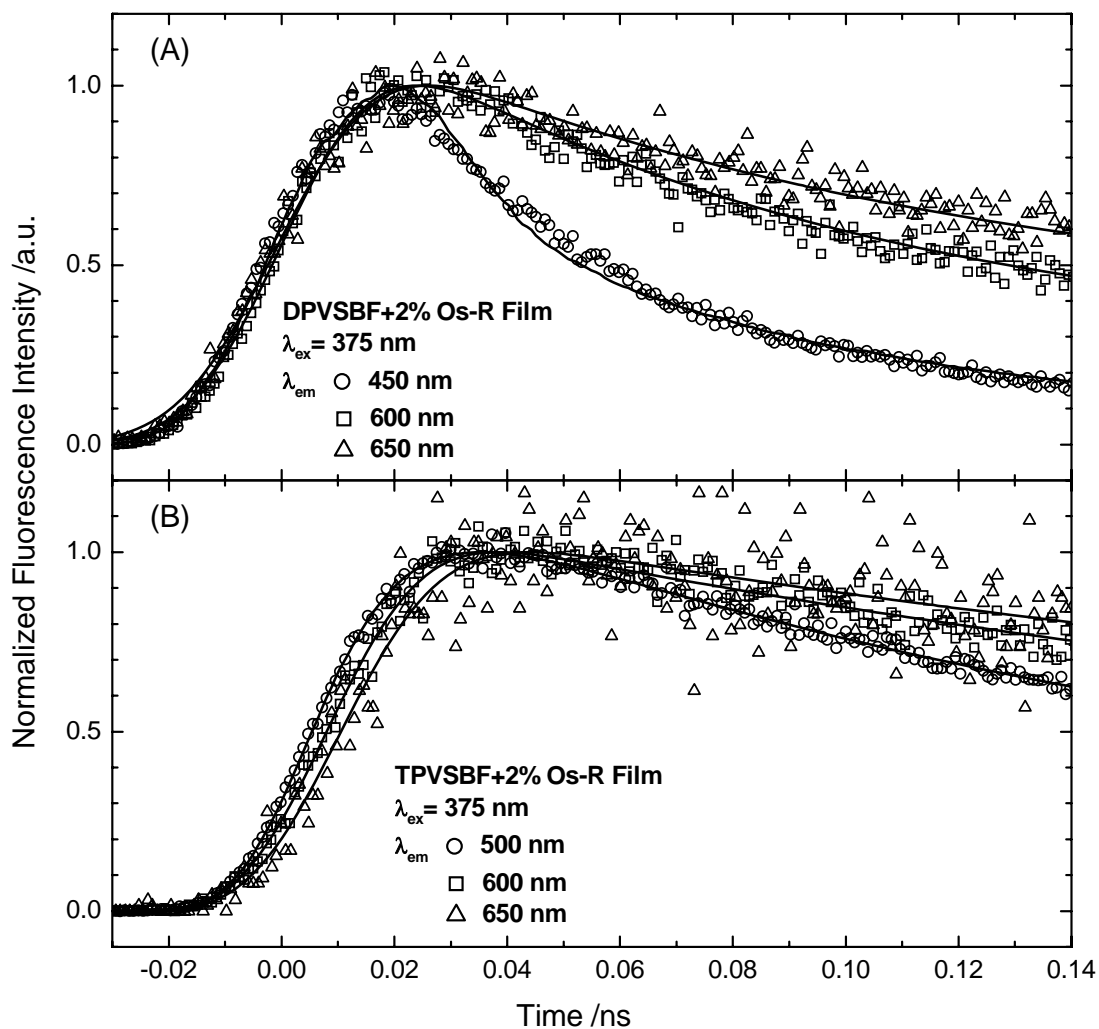
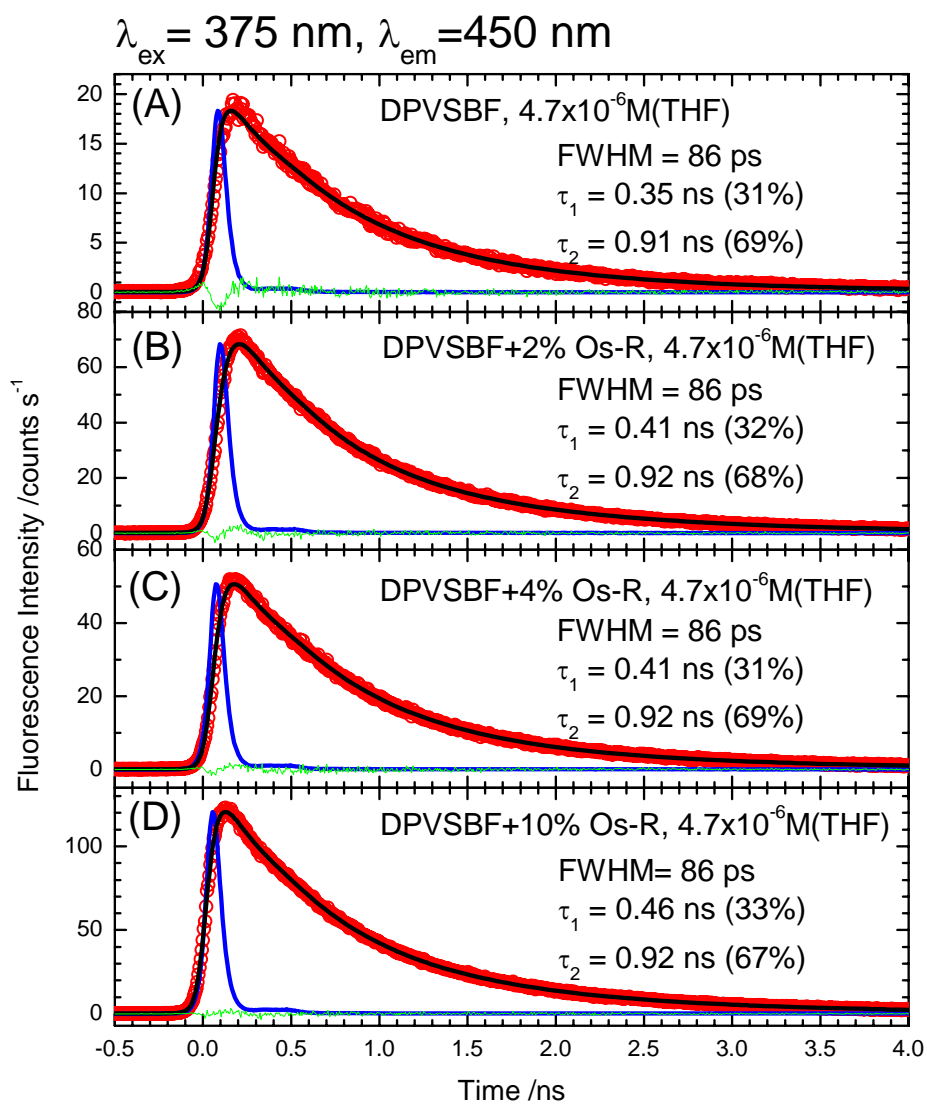


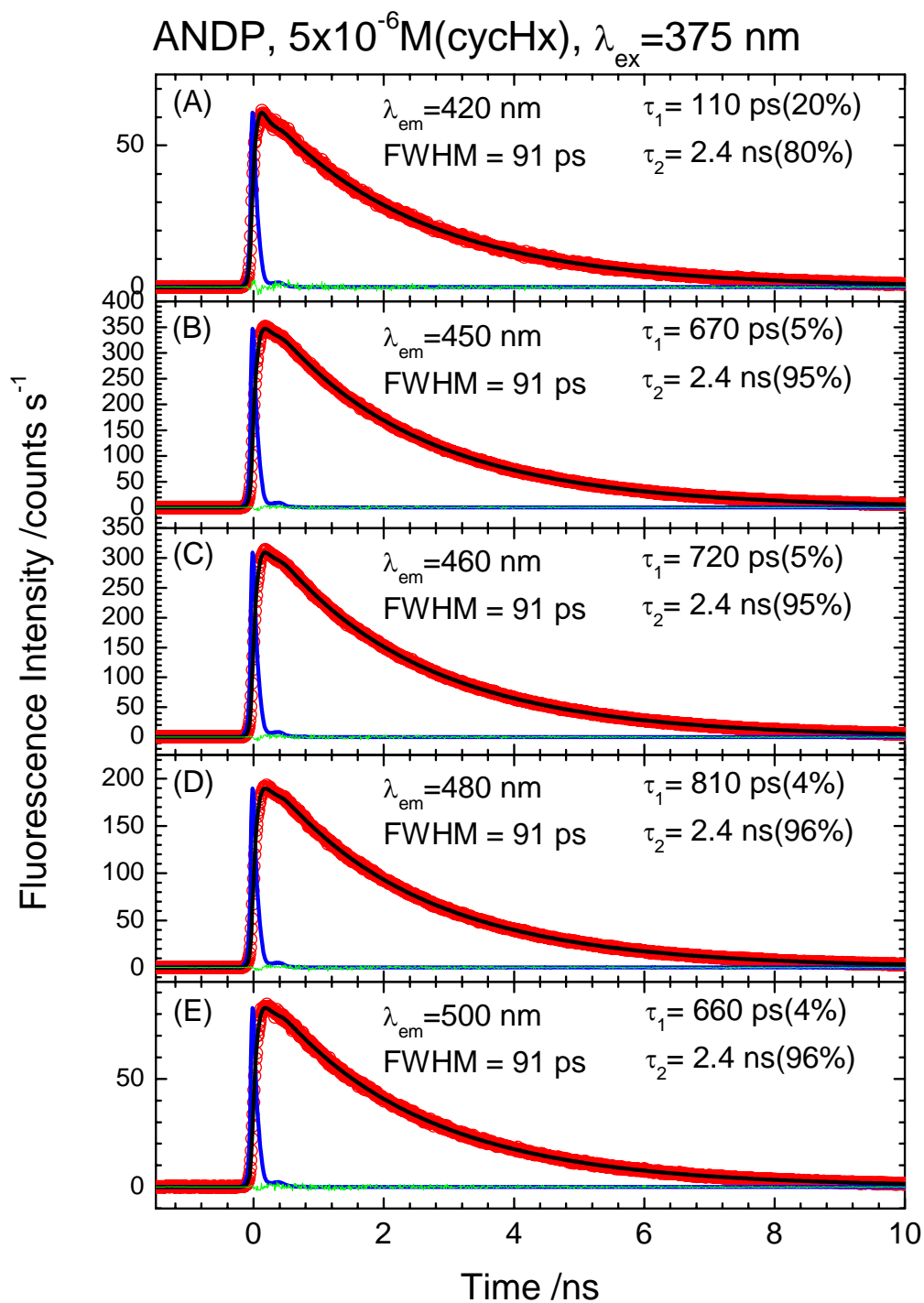
# 附 錄



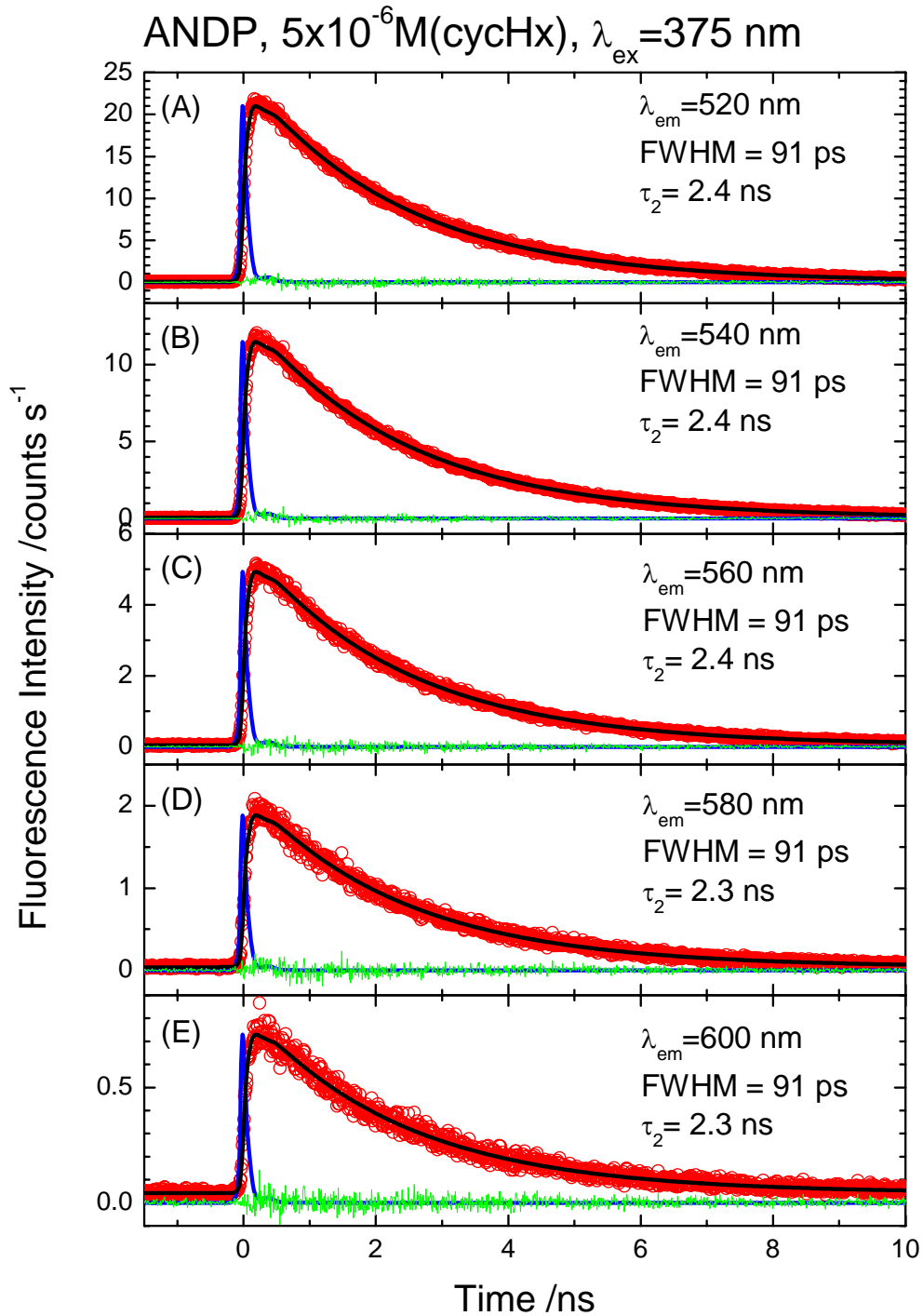
附錄 圖 1. (A) DPVSBF 與 (B) TPVSBF 各摻混 2% Os-R 的薄膜試樣之的瞬態螢光光譜圖。激發波長 375 nm，偵測波長分別為 450 nm (圓圈)、600 nm (方塊)、650 nm (三角形)。儀器相關函數約為 31~33 ps。幾何標記為實驗值，實線為 Scientist 平行模型擬合結果。



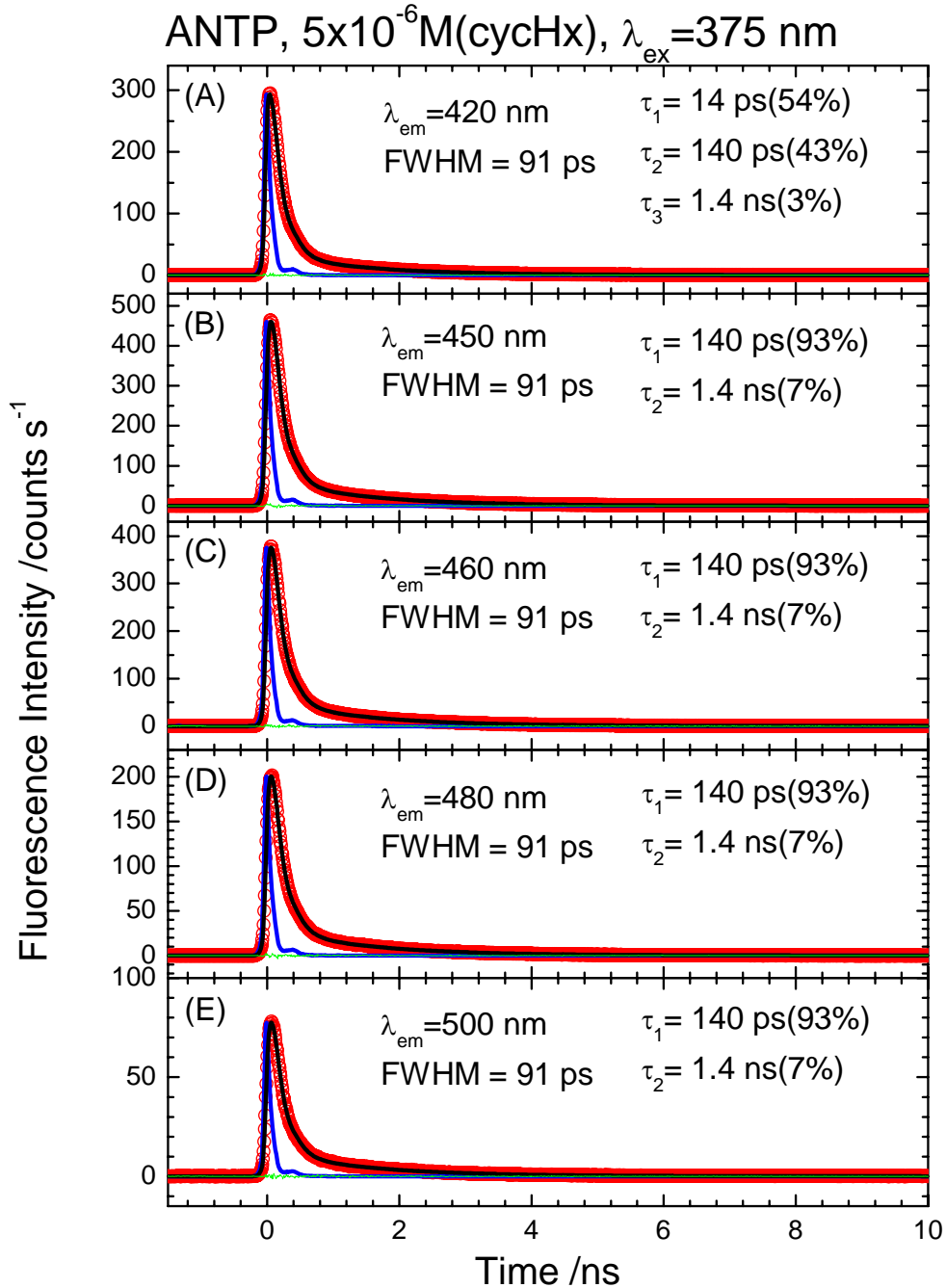
附錄 圖 2. DPVSBF加入重量比 2~10% Os-R之 THF溶液 ( $C_M = 4.7 \times 10^{-6} \text{ M}$ ) 的瞬態螢光光譜圖。激發波長為 375 nm，偵測波長為 450 nm，圓圈為實驗值，黑實線為 FluoFit 擬合結果，藍實線為 IRF。



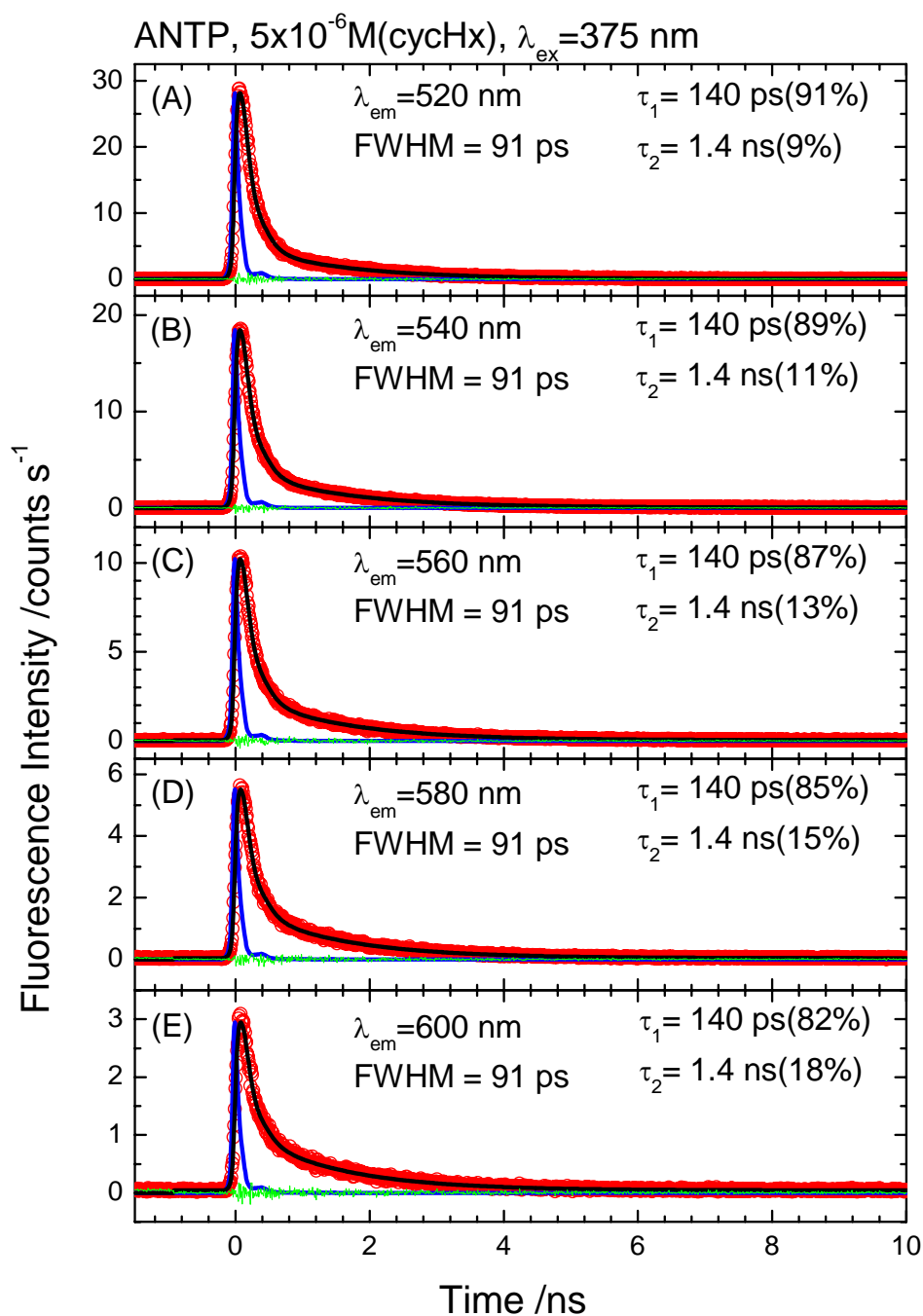
附錄 圖 3. ANDP之環己烷溶液 ( $C_M = 5 \times 10^{-6} \text{M}$ ) 的瞬態螢光光譜圖。偵測波長分別為：  
 (A) 420 nm、(B) 450 nm、(C) 460 nm、(D) 480 nm、(E) 500 nm。圓圈為實驗值，黑實  
 線為 FluoFit擬合結果，藍實線為 IRF，激發波長為 375 nm。



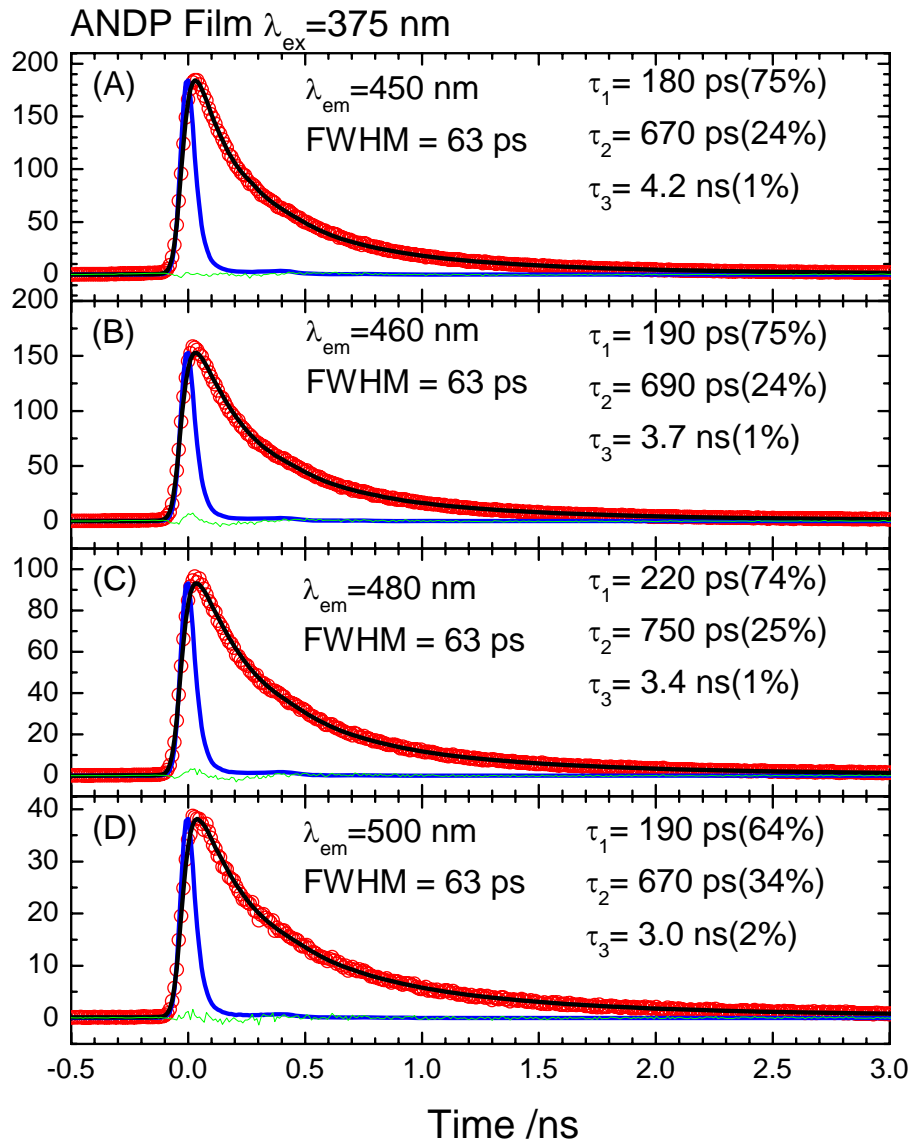
附錄 圖 4. ANDP之環己烷溶液 ( $C_M = 5 \times 10^{-6} \text{M}$ ) 的瞬態螢光光譜圖。偵測波長分別為：(A) 520 nm、(B) 540 nm、(C) 560 nm、(D) 580 nm、(E) 600 nm。圓圈為實驗值，黑實線為 FluoFit擬合結果，藍實線為 IRF，激發波長為 375 nm。



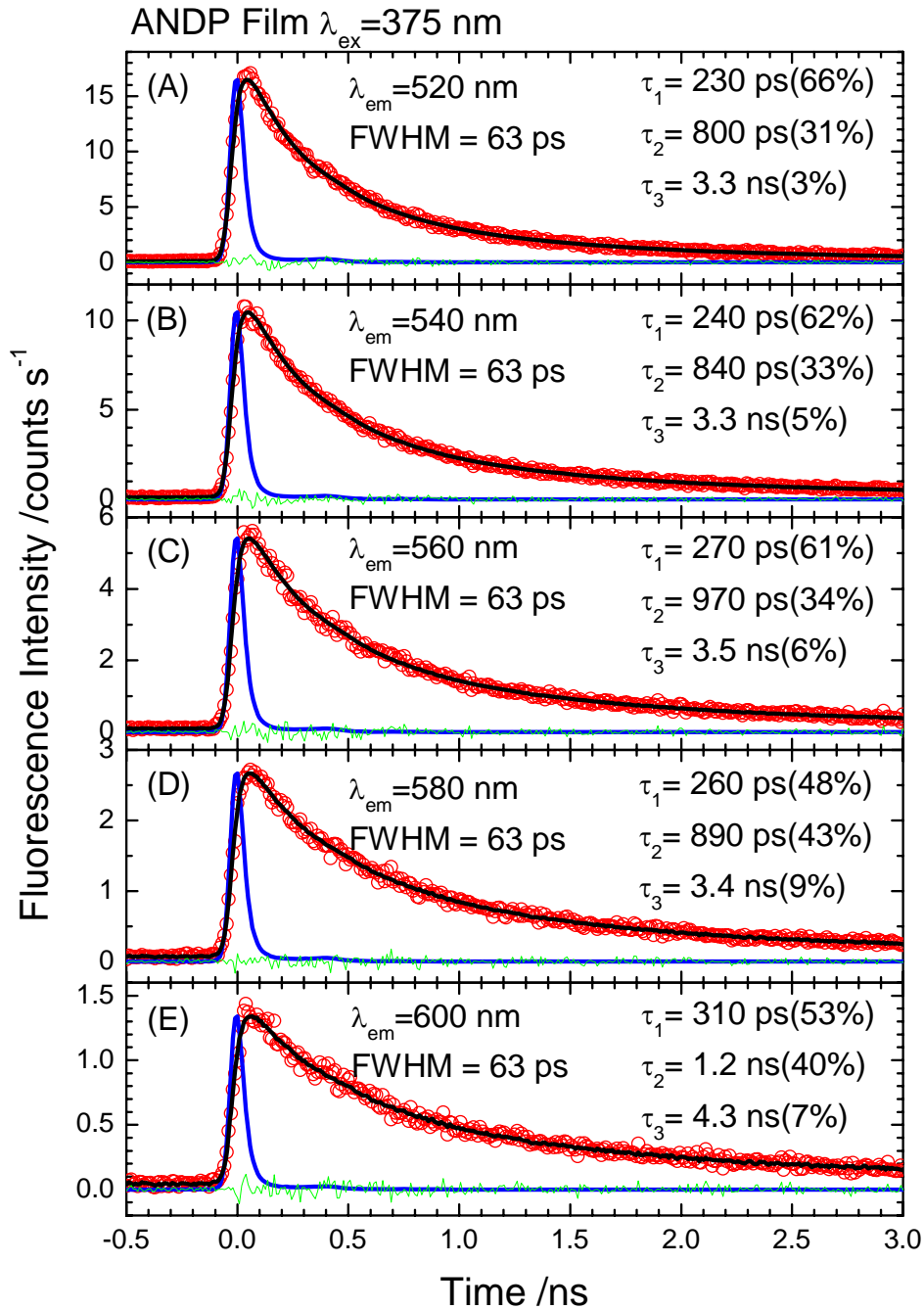
附錄 圖 5. ANTP之環己烷溶液 ( $C_M = 5 \times 10^{-6} \text{M}$ ) 的瞬態螢光光譜圖。偵測波長分別為：(A) 420 nm、(B) 450 nm、(C) 460 nm、(D) 480 nm、(E) 500 nm。圓圈為實驗值，黑實線為 FluoFit擬合結果，藍實線為 IRF，激發波長為 375 nm。



附錄 圖 6. ANTP之環己烷溶液 ( $C_M = 5 \times 10^{-6} \text{ M}$ ) 的瞬態螢光光譜圖。偵測波長分別為：(A) 520 nm、(B) 540 nm、(C) 560 nm、(D) 580 nm、(E) 600 nm。圓圈為實驗值，黑實線為 FluoFit擬合結果，藍實線為 IRF，激發波長為 375 nm。

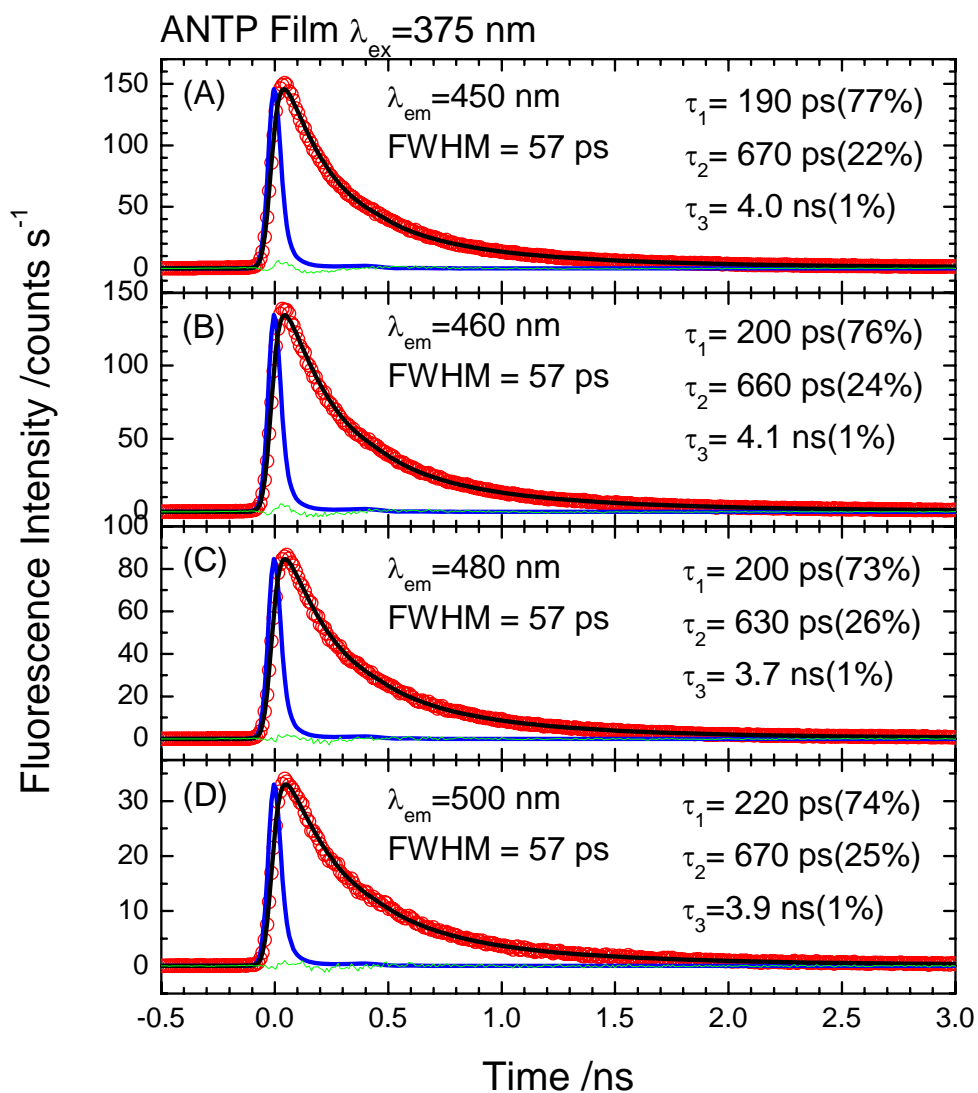


附錄 圖 7. ANDP 薄膜之瞬態螢光光譜圖。偵測波長分別為：(A) 450 nm、(B) 460 nm、(C) 480 nm、(D) 500 nm。圓圈為實驗值，黑實線為 FluoFit 擬合結果，藍實線為 IRF，激發波長為 375 nm。

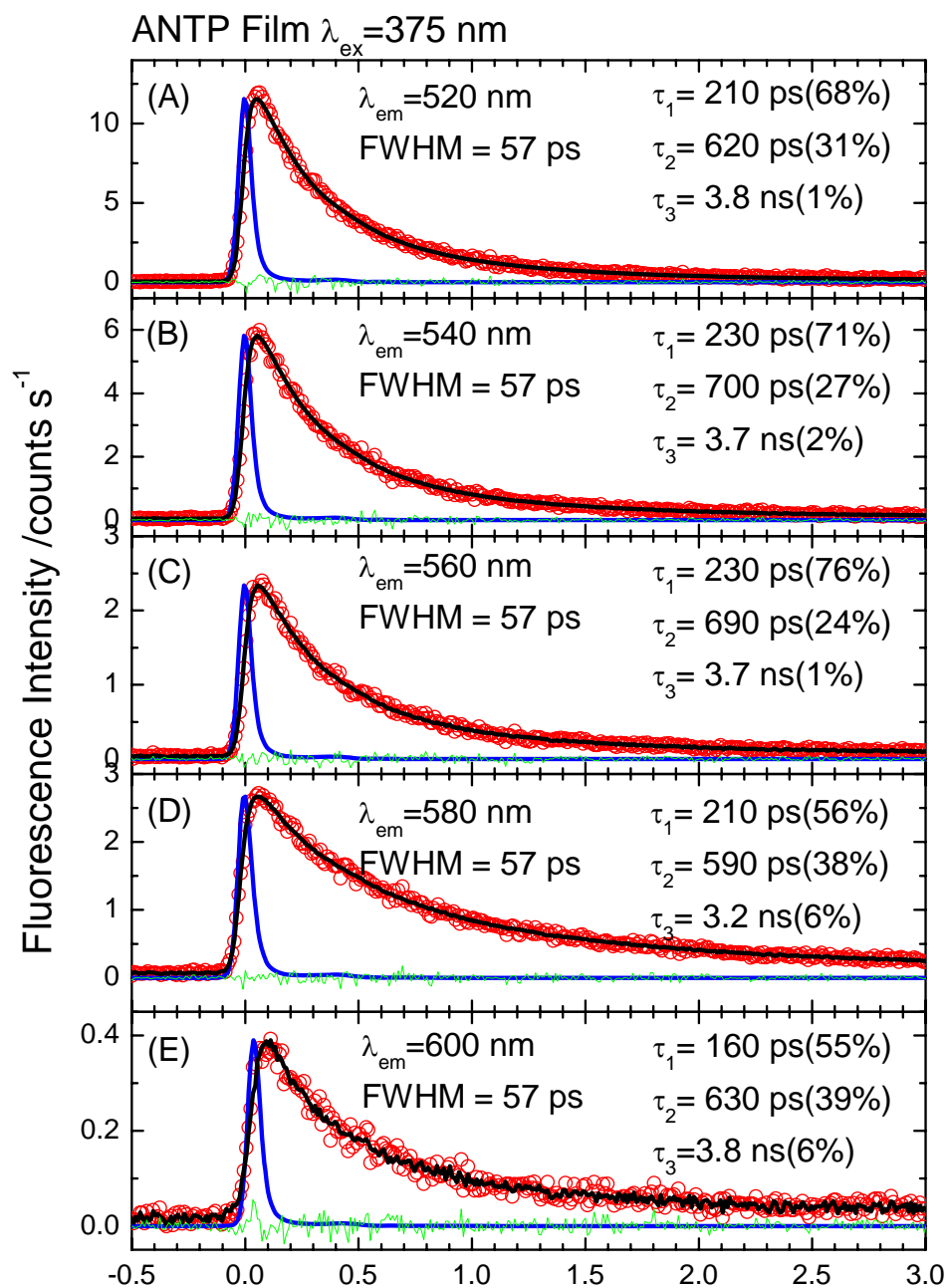


附錄 圖 8. ANDP 薄膜之瞬態螢光光譜圖。偵測波長分別為：(A) 520 nm、(B) 540 nm、(C) 560 nm、(D) 580 nm、(E) 600 nm。圓圈為實驗值，黑實線為 FluoFit 擬合結果，藍實線為 IRF，激發波長為 375 nm。

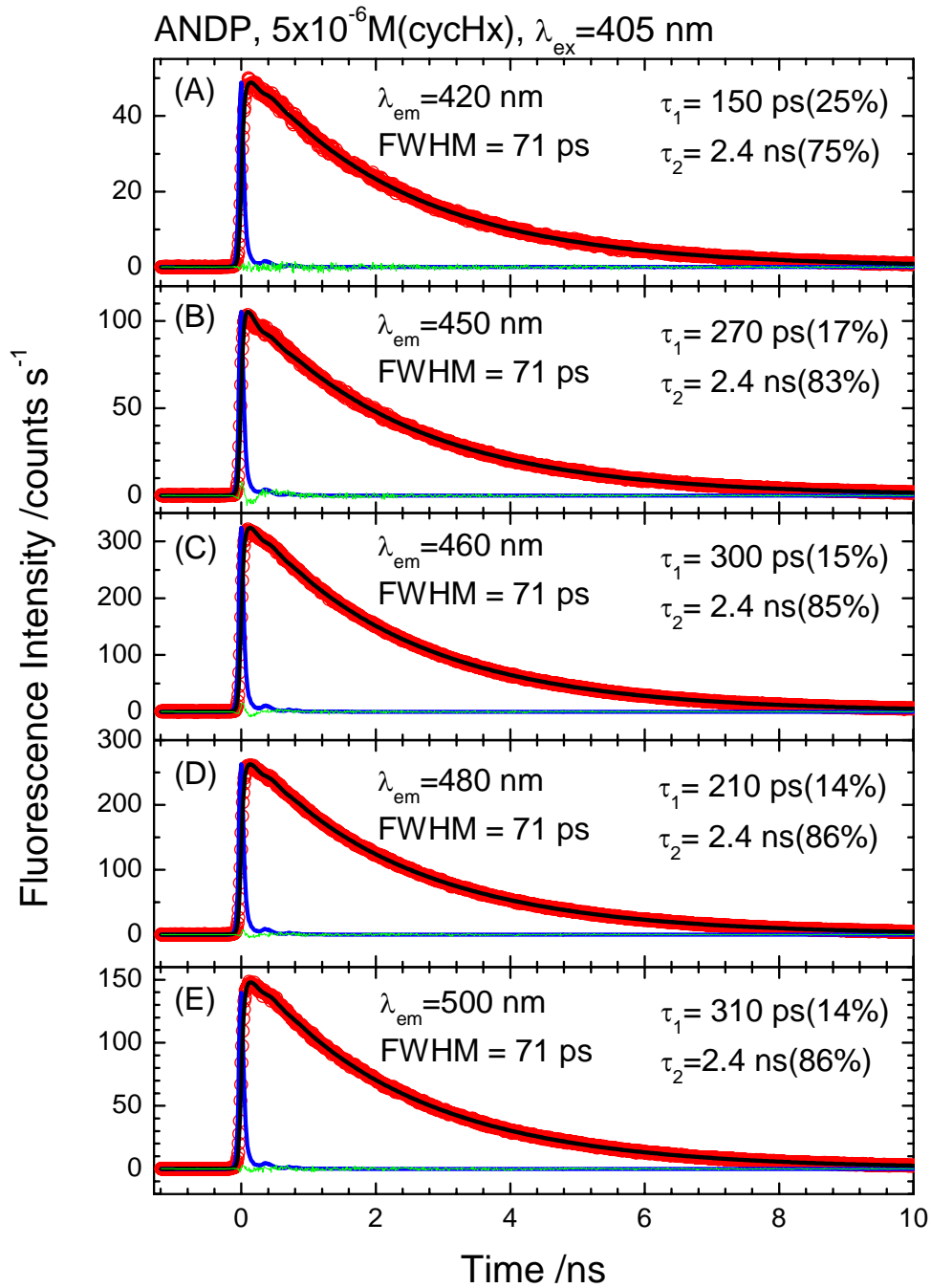




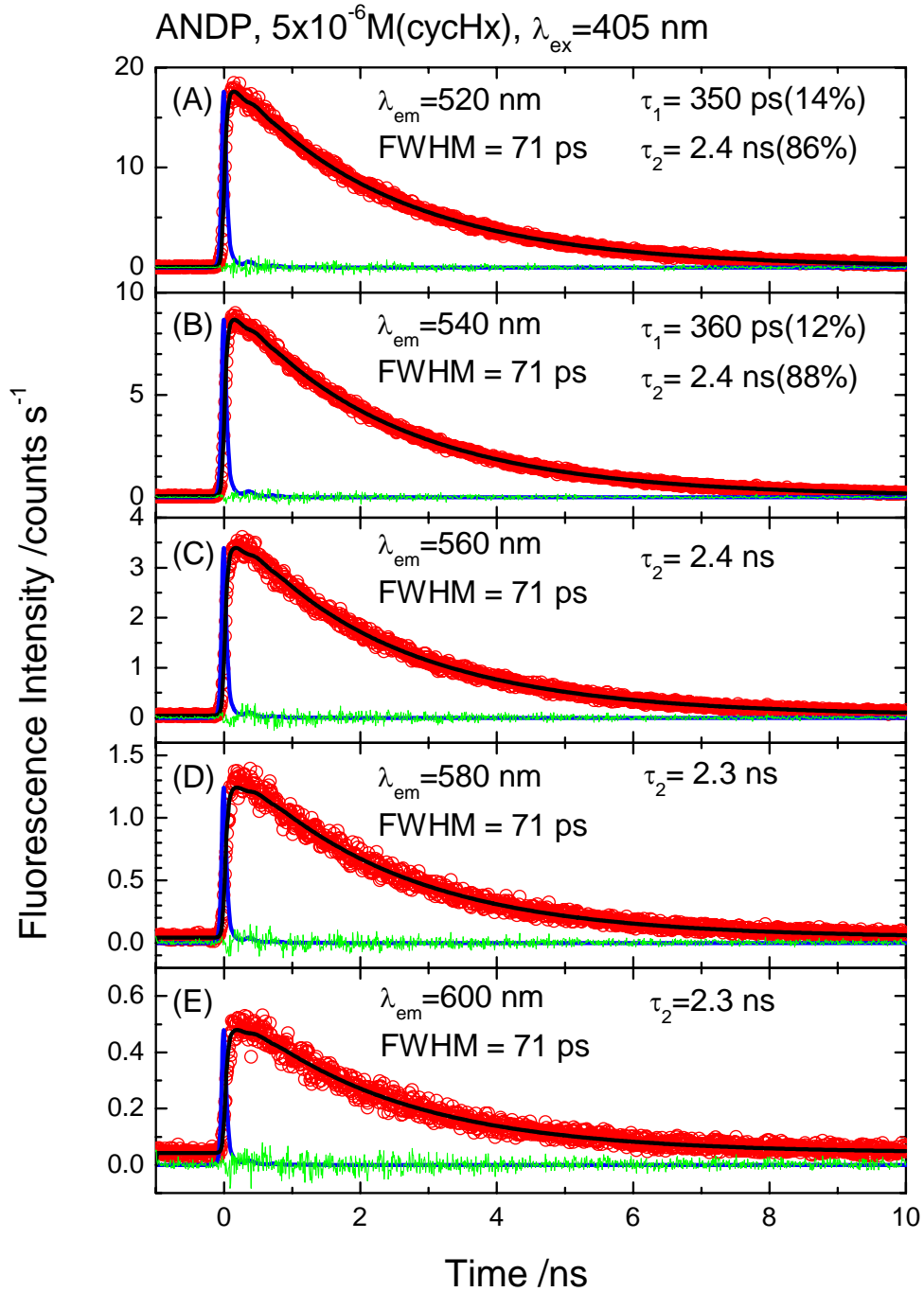
附錄 圖 9. ANTP 薄膜之瞬態螢光光譜圖。偵測波長分別為：(A) 450 nm、(B) 460 nm、(C) 480 nm、(D) 500 nm。圓圈為實驗值，黑實線為 FluoFit 擬合結果，藍實線為 IRF，激發波長為 375 nm。



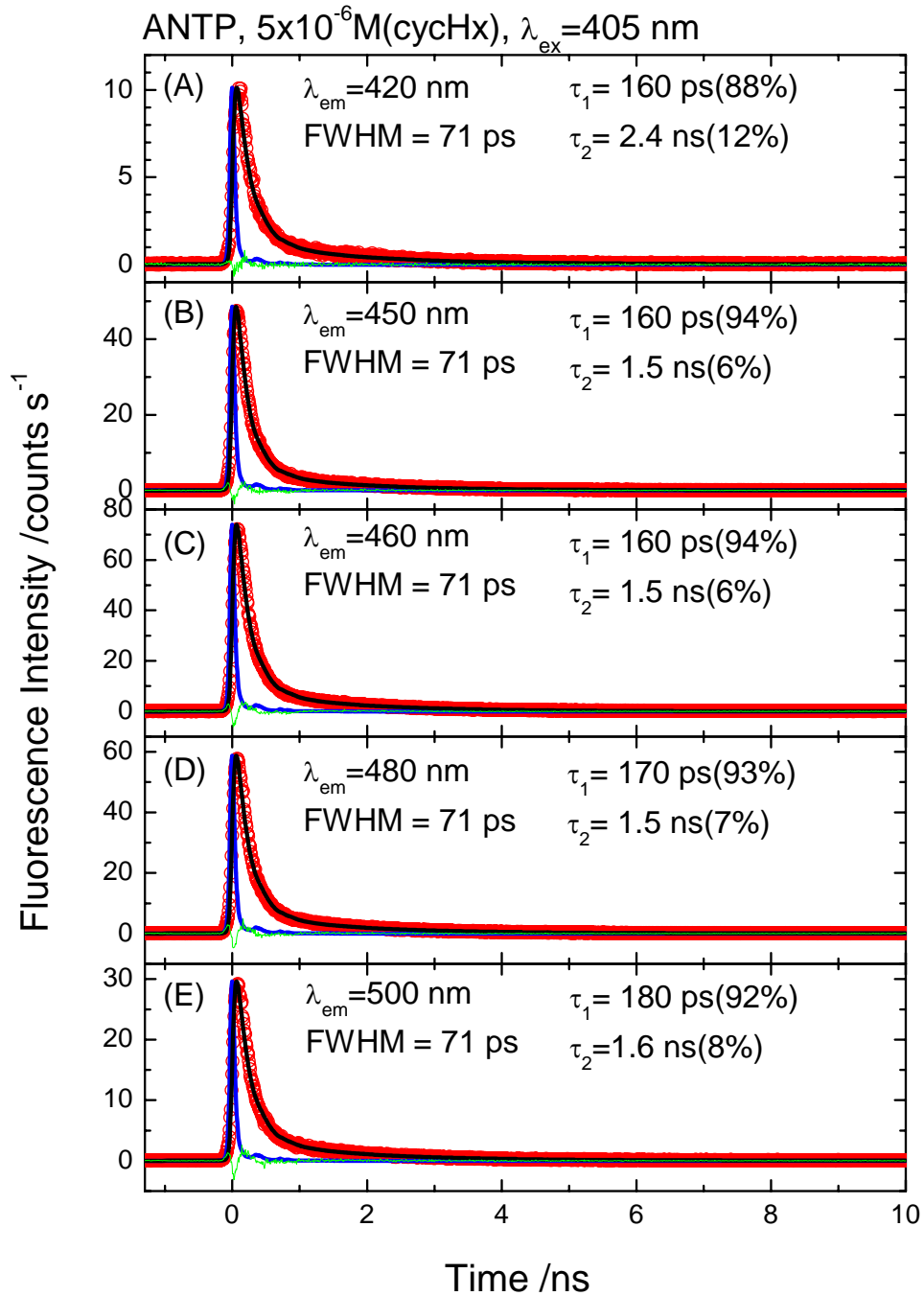
附錄 圖 10. ANTP 薄膜之瞬態螢光光譜圖。偵測波長分別為：(A) 520 nm、(B) 540 nm、(C) 560 nm、(D) 580 nm、(E) 600 nm。圓圈為實驗值，黑實線為 FluoFit 擬合結果，藍實線為 IRF，激發波長為 375 nm。



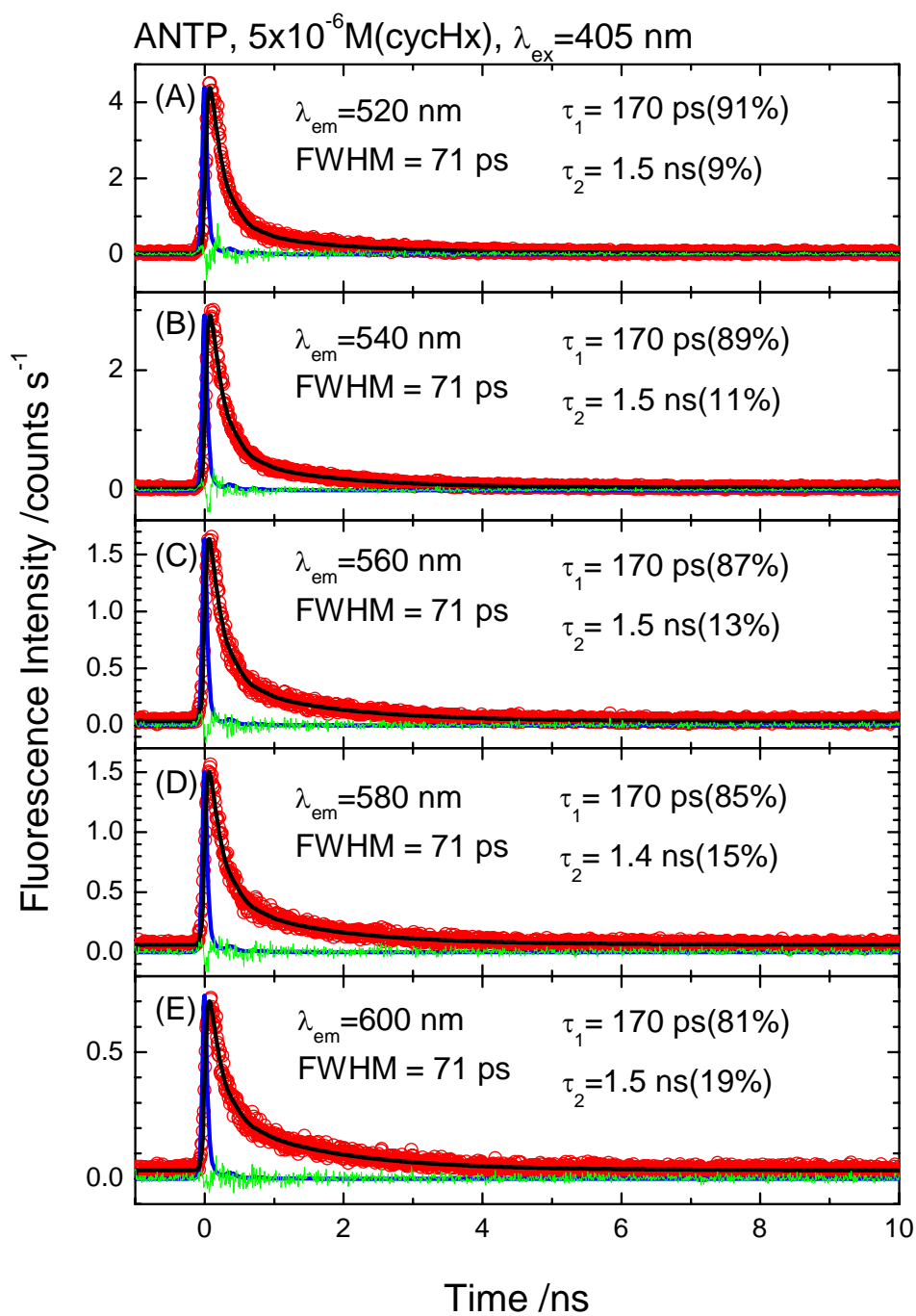
附錄 圖 11. ANDP之環己烷溶液 ( $C_M = 5 \times 10^{-6} \text{ M}$ ) 的瞬態螢光光譜圖。偵測波長分別為：(A) 420 nm、(B) 450 nm、(C) 460 nm、(D) 480 nm、(E) 500 nm。圓圈為實驗值，黑實線為 FluoFit擬合結果，藍實線為 IRF，激發波長為 405 nm。



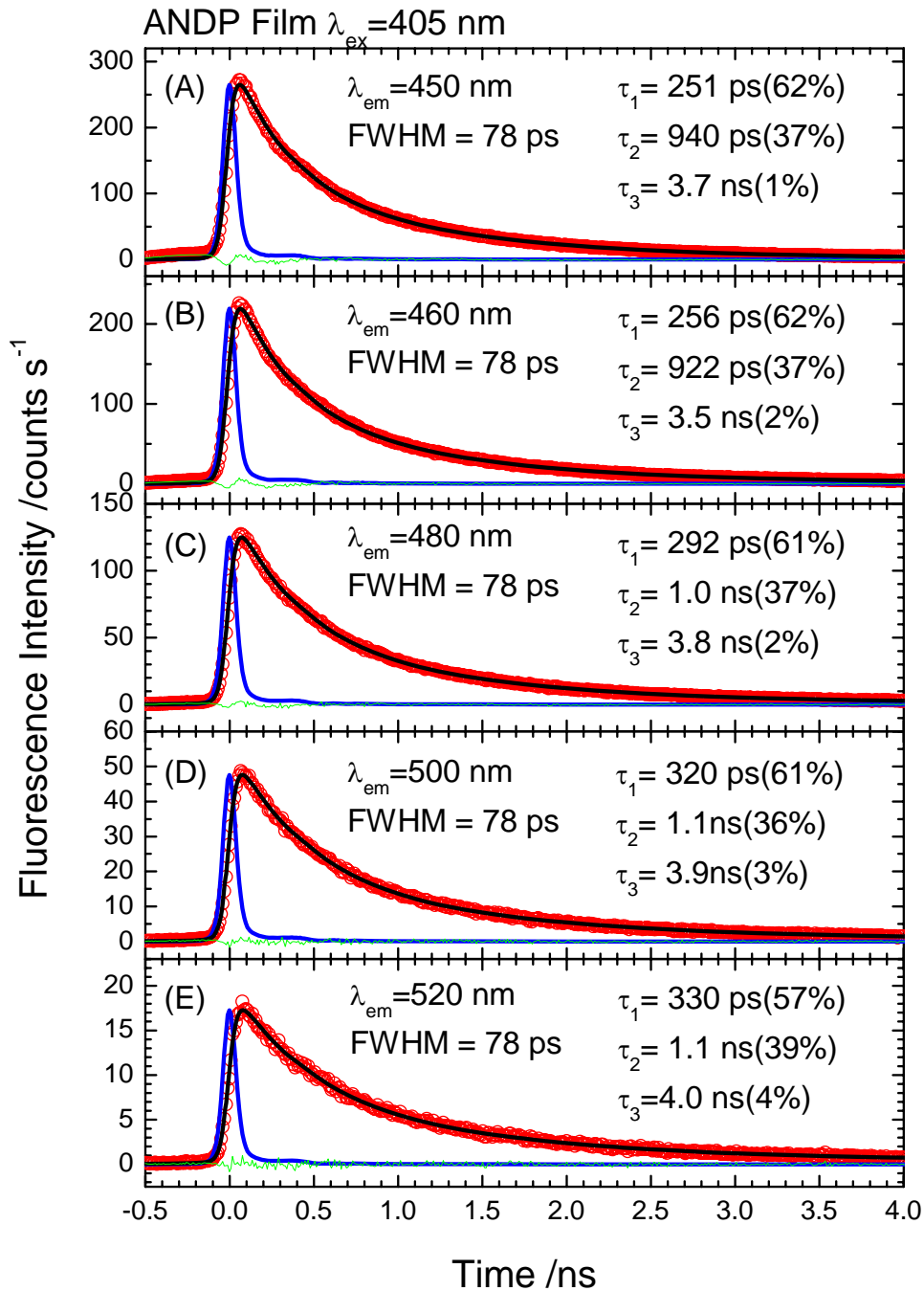
附錄 圖 12. ANDP之環己烷溶液 ( $C_M = 5 \times 10^{-6} \text{ M}$ ) 的瞬態螢光光譜圖。偵測波長分別為：(A) 520 nm、(B) 540 nm、(C) 560 nm、(D) 580 nm、(E) 600 nm。圓圈為實驗值，黑實線為 FluoFit擬合結果，藍實線為 IRF，激發波長為 405 nm。



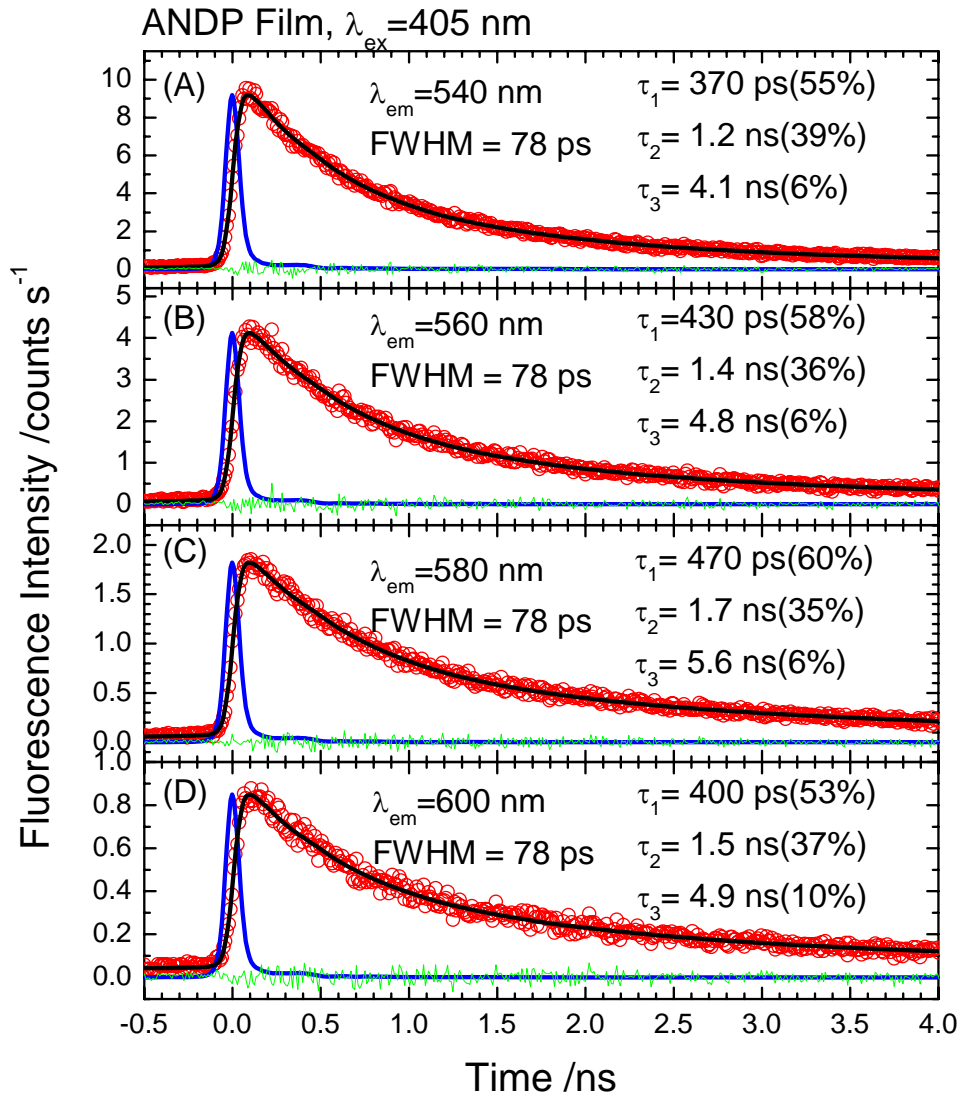
附錄 圖 13. ANTP之環己烷溶液 ( $C_M = 5 \times 10^{-6} \text{M}$ ) 的瞬態螢光光譜圖。偵測波長分別為：(A) 420 nm、(B) 450 nm、(C) 460 nm、(D) 480 nm、(E) 500 nm。圓圈為實驗值，黑實線為 FluoFit擬合結果，藍實線為 IRF，激發波長為 405 nm。



附錄 圖 14. ANTP之環己烷溶液 ( $C_M = 5 \times 10^{-6} \text{ M}$ ) 的瞬態螢光光譜圖。偵測波長分別為：  
 (A) 520 nm、(B) 540 nm、(C) 560 nm、(D) 580 nm、(E) 600 nm。圓圈為實驗值，黑實  
 線為 FluoFit擬合結果，藍實線為 IRF，激發波長為 405 nm。

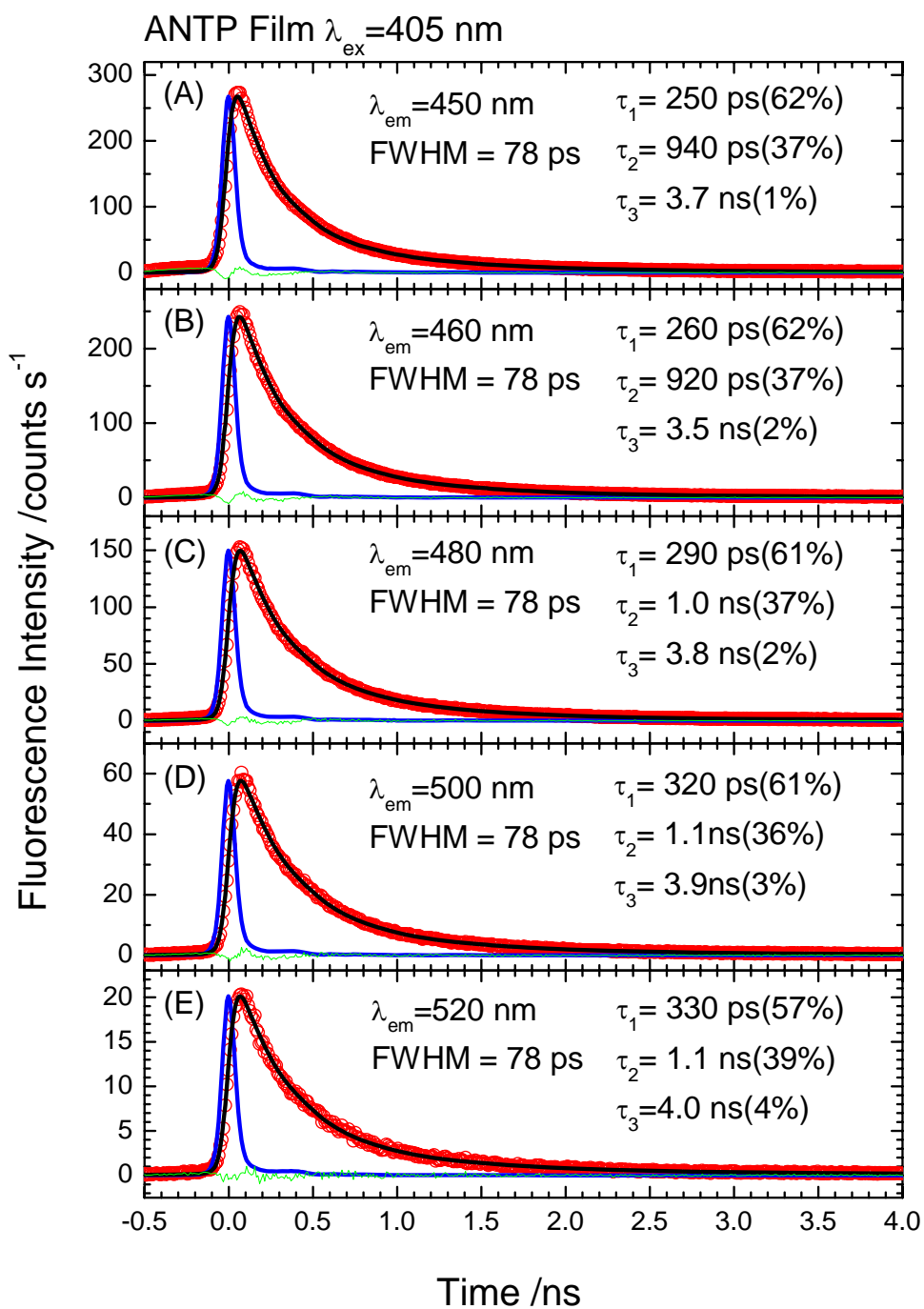


附錄 圖 15. ANDP 薄膜之瞬態螢光光譜圖。偵測波長分別為：(A) 450 nm、(B) 460 nm、(C) 480 nm、(D) 500 nm、(E) 520 nm。圓圈為實驗值，黑實線為 FluoFit 擬合結果，藍實線為 IRF，激發波長為 405 nm。

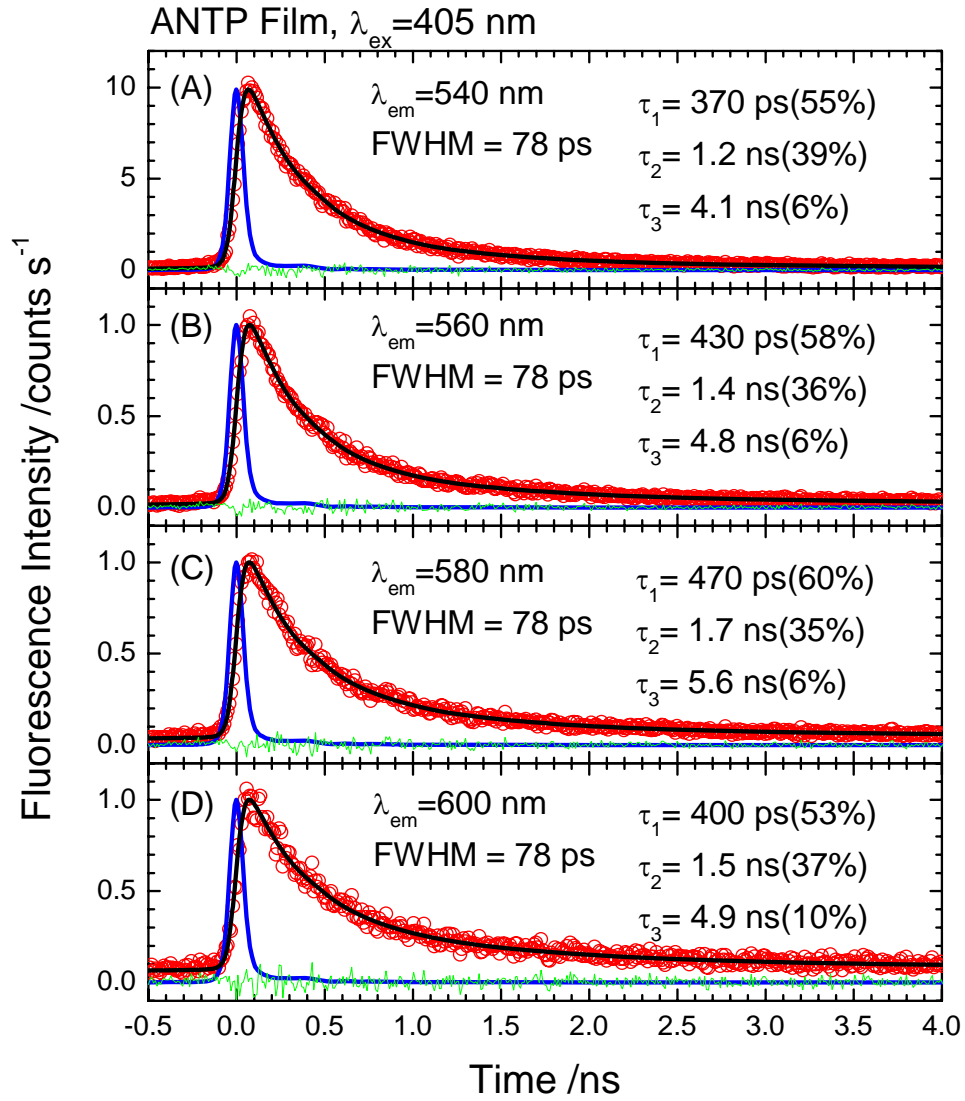


附錄 圖 16. ANDP 薄膜之瞬態螢光光譜圖。偵測波長分別為：(A) 540 nm、(B) 560 nm、(C) 580 nm、(D) 600 nm。圓圈為實驗值，黑實線為 FluoFit 擬合結果，藍實線為 IRF，激發波長為 405 nm。





附錄 圖 17. ANTP 薄膜之瞬態螢光光譜圖。偵測波長分別為：(A) 450 nm、(B) 460 nm、(C) 480 nm、(D) 500 nm、(E) 520 nm。圓圈為實驗值，黑實線為 FluoFit 擬合結果，藍實線為 IRF，激發波長為 405 nm。



附錄 圖 18. ANTP 薄膜之瞬態螢光光譜圖。偵測波長分別為：(A) 540 nm、(B) 560 nm、(C) 580 nm、(D) 600 nm。圓圈為實驗值，黑實線為 FluoFit 擬合結果，藍實線為 IRF，激發波長為 405 nm。